

# 基于双重准则的二自由度预测 控制——连续情况<sup>1)</sup>

刘 兵

冯纯伯

(电力部电力自动化研究院系统研究所 南京 210003) (东南大学自动化研究所 南京 210096)

**摘 要** 对二自由度连续预测控制系统进行了讨论. 在保留连续预测控制基本特点的条件下, 取包含连续预测控制指标项、灵敏度及补灵敏度的综合指标函数, 通过广义谱分解及构造丢番图方程, 求得使闭环系统内稳的解. 最后举例说明该方法的有效性.

**关键词** 连续预测控制, 广义谱分解, 双重准则.

## 1 引 言

预测控制系统的稳定性和鲁棒性是引起广泛关注的重要问题. 由于预测控制算法严重的非线性, 使得系统的性能难以分析, 因此缺乏一般的理论结果. 同时, 预测控制在时域内对给定的算法构造控制结构时, 无法像鲁棒控制等那样直接考虑干扰对系统的影响. 对离散系统, 文[4]从一新的角度提出二自由度线性二次高斯预测控制算法, 利用谱分解方法求得使闭环系统稳定的解, 但它忽略了噪声及控制约束对系统的影响, 同时“在实现时却是通常的 LQG 问题”, 不具有预测控制的基本特点. 对连续系统, 目前还没有类似的结果.

本文参考文[3,4]中的双重准则, 直接面向噪声干扰设计连续预测控制系统, 求得使闭环系统内稳的解.

## 2 系统描述及预测估计

在不会混淆的情况下, 记  $f \triangleq f(s)$ , 复共轭转置  $f^* \triangleq f^*(s) \triangleq f^T(-s)$ ,  $\Phi$  表示相应的功率谱,  $\mathcal{L}(\cdot)$  表示 Laplace 变换.

参考文[3,4]考虑如图 1 所示的二自由度控制系统, 其中  $\zeta, \xi, \eta$  为单位方差的白噪声, 并且  $\zeta, \xi, \eta$  相互独立;  $W_r = E(s)/A_e(s)$ ,  $W_d = C(s)/A(s)$ ,  $W_v = D(s)/A(s)$  分别为参考输入、干扰及可测噪声模型, 并且  $E(s), A_e(s)$  稳定;  $W = B(s)/A(s)$  为系统模型;  $H_f = e^{-k_0 s}$  为测量延迟; 控制器  $C_{01}$  和  $C_{02}$  表示两个待定的自由度.

利用文[3,4]的新息模型 (innovation model) 方法, 图 1 所示的系统等价于

$$A(s)y(s) = B(s)u(s) + D_n(s)\epsilon(s), \quad (1)$$

其中  $\epsilon(t)$  为单位方差白噪声,  $D_n(s)$  稳定且满足

1) 国家自然科学基金和河南省教委自然科学基金资助课题.

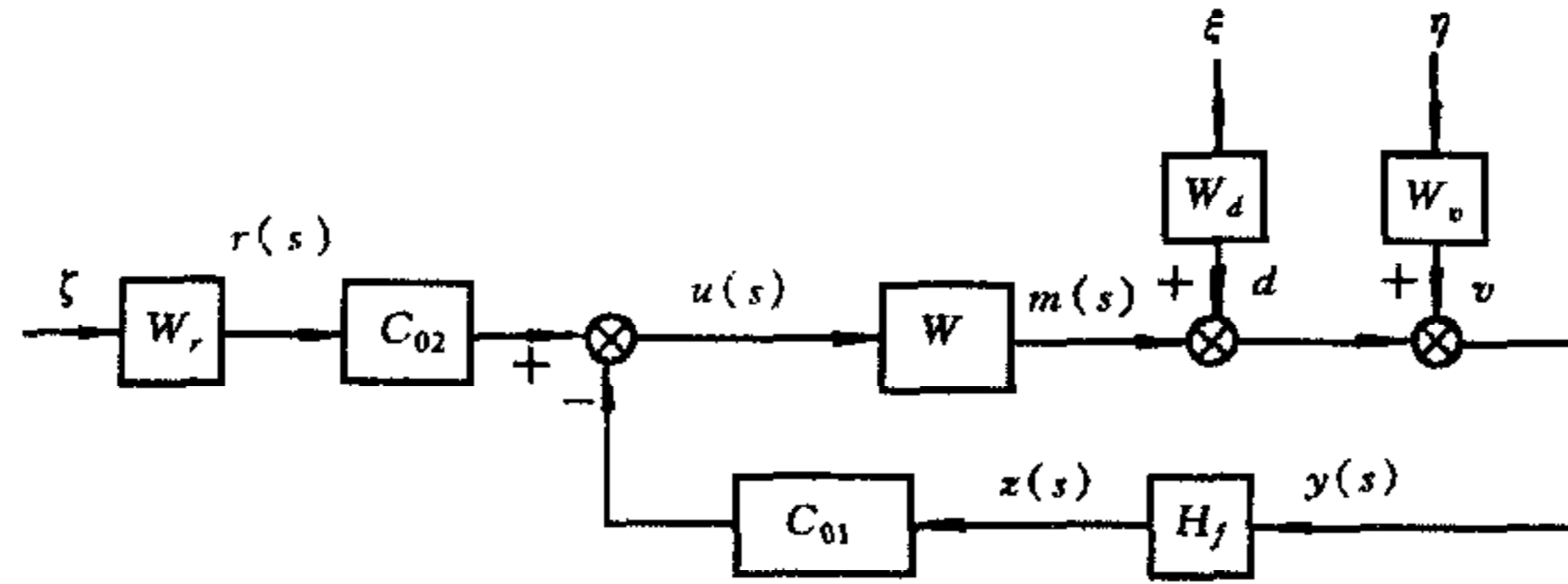


图 1 二自由度连续闭环控制系统

$$D_n D_n^* = D \Phi_{\eta} D^* + C C^* \text{ 且 } \Phi_{d_v d_v} = \Phi_{dd} + \Phi_{vv}, d_v(t) = \frac{D_n}{A} \varepsilon(t). \quad (2)$$

仿文[1,5],有估计的  $s$  域表示下式

$$\mathcal{L}(\hat{y}_a(t+T)) = p(s) \mathcal{L}(\hat{y}(t+T)) = T_{N_y} (\bar{H} u(s) + Y^0(s)) + p(s) y(s), \quad (3)$$

$$s^k p(s) \hat{y}(s) = \frac{E_k B}{D_n} u(s) + \frac{F_k}{D_n} y(s), \quad (4)$$

其中  $p(s)$  为稳定的辅助输出多项式,且  $p(0)=1$ ;  $y_a(t+T)$  为时域内辅助输出;  $T_{N_y} = [1, T, \dots, T^{N_y}/N_y!]$ ,  $N_y$  为 Taylor 展开截取项数;  $\bar{H} = H_y S$ ,  $S = [1, s, \dots, s^{N_{u0}}]^T$ ,  $N_{u0} = \min\{N_u, \partial p(s) + N_y - \rho\}$ ,  $N_u$  为系统的控制阶<sup>[1]</sup>,  $\rho$  为系统的相对阶,  $\partial(\cdot)$  表示  $(\cdot)$  的阶次,  $H_y$  是  $(N_y+1) \times (N_{u0}+1)$  阶准下三角矩阵,其元素为  $H_k(s)$  的相应系数;  $Y^0(s) = [0, y_1^0(s), \dots, y_{N_y}^0(s)]^T$ ,  $y_k^0(s) = (G_k(s)u(s) + F_k(s)y(s))/D_n(s)$ ;  $E_k(s), F_k(s), G_k(s), H_k(s)$  满足如下关系<sup>[1]</sup>

$$s^k p(s) D_n(s) = A(s) E_k(s) + F_k(s), \quad E_k(s) B(s) = D_n(s) H_k(s) + G_k(s). \quad (5)$$

引理 1. 对图 1 所示的控制系统有

$$s^k p(s) \hat{y}(s) = W S_0 C_{02} s^k p(s) r(s) + S_0 \frac{F_k}{D_n} d_v(s), \quad (6a)$$

$$s^k p(s) \hat{u}(s) = S_0 C_{02} s^k p(s) r(s) - M_0 \frac{F_k}{D_n} d_v(s), \quad k = 0, 1, \dots, T_{N_y}, \quad (6b)$$

其中  $S_0 = 1/(1 + C_{01} H_f W)$ ,  $M_0 = C_{01} H_f S_0$  分别为灵敏度和控制灵敏度.

证明. 由式(4), (1)和图 1, 整理后可知式(6)成立.

证毕.

类似离散预测控制,不妨令  $\hat{y}(s) = y(s)$ ,  $\hat{u}(t) = u(s)$ . 由式(6)和(3)可得

$$\mathcal{L}(\hat{y}_a(t+T)) = [T_{N_y} G_h + (T_{N_y} F_d + p(s)) W] S_0 C_{02} r(s) + [(T_{N_y} F_d + p(s)) S_0 F_{d0} - T_{N_y} G_h M_0 F_{d0}] d_v(s), \quad (7)$$

其中  $G_h = \bar{H} + [0, \frac{G_1}{D_n}, \frac{G_2}{D_n}, \dots, \frac{G_{N_y}}{D_n}]^T$ ,  $F_{d0} = \frac{F_0}{p(s) D_n}$ ,  $F_d = [0, \frac{F_1}{D_n}, \frac{F_2}{D_n}, \dots, \frac{F_{N_y}}{D_n}]^T$ ,

$$\mathcal{L}(\hat{u}(t+T)) = \sum_{k=0}^{N_u} \frac{T^k}{k!} s^k u(s) = T_{N_u} S_v S_0 C_{02} r(s) - T_{N_u} F_p M_0 d_v(s), \quad (8)$$

式中  $T_{N_u} = [1, T, \dots, T^{N_u}/N_u!]$ ,  $S_v = [1, s, \dots, s^{N_u}]^T$ ,  $F_p = [F_0, F_1, F_2, \dots, F_{N_u}]^T / (p(s) D_n)$ .

和离散情况不同,连续情况要求参考轨迹具有连续性和可微性. 因此,下面参考文[5, 1],采用“未来”参考模型  $R_f(s)$  对当前参考量  $r(t)$  在区间  $[t, t+T]$  的输出  $R(t, s) = R_f(s)$

$\frac{1}{s} r(t) \approx \sum_{k=0}^{N_y} r_k s^{-(k+1)} r(t)$  作为未来的参考量关于  $T$  的  $s$  域表示.  $r_k$  为  $R_f(s)$  的 Markov 参

数,记  $r_v = [r_0, r_1, \dots, r_{N_y}]^T$ . 对  $R(t, s)$  关于  $T$  求反 Laplace 变换, 然后关于  $t$  求 Laplace 变换, 则有

$$R(s, T) = T_{N_y} r_v r(s). \quad (9)$$

### 3 预测控制算法

考虑连续系统预测控制的性能要求, 取类似文[5]的指标函数

$$J_1 = E \left\{ \int_{N_1}^{N_2} [Q_1(s) (\hat{y}_a(t+T) - R(t, T))]^2 dT + \int_0^{N_c} [Q_2(s) \hat{u}(t+T)]^2 dT \right\} = \\ \frac{1}{2\pi j} \int_{N_1}^{N_2} \oint_D Q_1^* Q_1 \Phi_{ee} ds dT + \frac{1}{2\pi j} \int_0^{N_c} \oint_D Q_2^* Q_2 \Phi_{\hat{u}\hat{u}} ds dT. \quad (10)$$

其中  $e = \hat{y}_a(t+T) - R(t, T) = \mathcal{L}^{-1}(\mathcal{L}(\hat{y}_a(t+T)) - R(s, T))$ ;  $N_1, N_2, N_c, Q_1(s), Q_2(s)$  的意义同文[1, 5];  $D$  为包括虚轴的右半复平面内的封闭曲线.

文[2]在 Hardy 空间  $H_2$  中, 求解以式(11)为指标函数的鲁棒控制问题的方法, 为增强预测控制系统对噪声干扰的鲁棒性提供了可借鉴的方法.

$$\|W_1 S_0\|_2^2 + \|W_2(1 - S_0)\|_2^2, \quad (11)$$

其中  $W_1, W_2$  为加权量. 令  $m_0, z_0$  分别表示零参考输入时系统的输出和控制器输入, 由图 1 知  $z_0(s) = S_0 H_f [d(s) + v(s)]$ ,  $m_0(s) = -W M_0 [d(s) + v(s)]$ . 为抑制噪声对系统的影响, 取指标函数

$$J_2 = E \{ \|W_1 z_0\|^2 + \|W_2 m_0\|^2 \} = \frac{1}{2\pi j} \oint_D (W_1 W_1^* \Phi_{z_0 z_0} + W_2 W_2^* \Phi_{m_0 m_0}) ds. \quad (12)$$

取综合指标函数为

$$J = J_1 + J_2, \quad (13)$$

取加权量  $Q_i = Q_{ni}/A_w (i=1, 2)$ ,  $W_1 = W_{n1}/A_w$ ,  $W_2 = A W_{n2}/A_w$ ,  $A_w$  稳定.

假设参考量  $r(t)$  在  $(-\infty, t+\tau]$  内已知. 为书写简洁, 概括以式(13)为指标函数的优化控制器按如下步骤求解:

#### 1) 谱分解

$$D_0 = Q_{n1}^* Q_{n1} [((G_h D_n)A + (F_d D_n)B)^* T_{yy} ((G_h D_n)A + (F_d D_n)B) + \\ T_y ((G_h D_n)A + (F_d D_n)B) B^* p^*(s) D_n^* + D_n p(s) B ((G_h D_n)A + \\ (F_d D_n)B)^* T_y^T + (N_2 - N_1) p(s) p^*(s) B^* B D_n^* D_n], \\ D_{c1}^* D_{c1} = D_0 F_0 F_0^* + Q_{n2}^* Q_{n2} (F_p p(s) D_n)^* T_{uu} (F_p p(s) D_n) A^* A D_n^* D_n + \\ (W_{n1}^* W_{n1} + W_{n2}^* W_{n2} A^* A) B^* B (D_n^* D_n)^2 p^*(s) p(s), \quad (14)$$

$$D_{c2}^* D_{c2} = D_0 + Q_{n2}^* Q_{n2} S_v^* T_{uu} S_v A A^* D_n^* D_n, \quad (15)$$

并且  $D_{c1}, D_{c2}$  稳定.

#### 2) 构造丢番图方程

$$D_{c1}^* K + L (A_w A D_n p(s)) = Q_{n1}^* Q_{n1} [((G_h D_n)A + (F_d D_n)B)^* T_{yy} (F_d D_n) + \\ T_y (F_d D_n) p^*(s) B^* D_n^* + p(s) D_n ((G_h D_n)A + \\ (F_d D_n)B)^* T_y^T + (N_2 - N_1) p^*(s) p(s) B^* D_n^* D_n] F_0 F_0^* +$$

$$W_{n1}^* W_{n1} (D_n^* D_n)^2 B^* p^*(s) p(s), \tag{16}$$

$$D_{c1}^* T - L(A_w D_n p(s) B) = Q_{n1}^* Q_{n1} [((G_h D_n) A + (F_d D_n) B)^* T_{yy} (G_h D_n) + T_y (G_h D_n) B^* p^*(s) D_n^*] F_0 F_0^* + Q_{n2}^* Q_{n2} (F_p p(s) D_n)^* T_{uu} \times (F_p p(s) D_n) A^* D_n^* D_n + W_{n2}^* W_{n2} A^* B B^* (D_n^* D_n)^2 p(s) p^*(s), \tag{17}$$

$$D_{c2}^* K_0 + L_0(A_w A_e) = Q_{n1}^* Q_{n1} [((G_h D_n) A + (F_d D_n) B)^* T_{yy} r_v + T_y r_v p^*(s) B^* D_n^*] E. \tag{18}$$

3) 优化控制器的解

$$C_{01} = \frac{C_{n1}}{C_{d1}} = \frac{K}{T} e^{k_0 s}, C_{02} = \frac{C_{n2}}{C_{d2}} = \frac{D_n D_{c1} (K_0 e^{-\tau s} + A_w A_e X(s, \tau)) e^{\tau s}}{D_{c2} C_{d1} E}. \tag{19}$$

定理 1. 式(19)中的控制器使闭环系统内稳, 并且闭环反馈系统的特征多项式  $\rho_0$ 、灵敏度  $S_0$ 、补灵敏度  $1 - S_0$ 、控制灵敏度  $M_0$  分别为

$$\rho_0 = A C_{d1} + B H_f C_{n1} = D_{c1}, \quad S_0 = \frac{A T}{D_{c1}}, \quad 1 - S_0 = \frac{B K}{D_{c1}}, \quad M_0 = \frac{A K}{D_{c1}}. \tag{20}$$

证明见附录.

4 举例

考虑不稳定的非最小相位系统  $A(s) = (s - 2)(s^2 + s + 1)$ ,  $B(s) = s - 3$ . 取  $N_1 = 3, N_2 = 8, N_c = 5, N_y = 5, N_u = 2, R_f(s) = 1/(s + 1), E(s) = 1, A_e = s, p(s) = s + 1, A_w = s + 3, D(s) = 1, C(s) = 1; \zeta, \xi, \eta$  为相互独立的单位方差的白噪声. 各加权量分别为  $Q_{n1} = 6.4957(s + 1)/10^4, Q_{n2} = 6.4957/10^4, W_{n1} = 6.4957(s + 2)/10^4, W_{n2} = 6.4957(s + 2)/10^4$ . 求得控制器的参数分别为  $D_{c1}(s) = s^7 + 4.5617s^6 + 5.9759s^5 + 4.9704s^4 + 3.4908s^3 + 1.2725s^2 + 0.3128s + 0.0382; D_{c1}(s)$  的特征根为  $-3, -0.9999, -0.0307 \pm 0.7343i, -0.128 \pm 0.2829i, -0.2443; D_{c2} = 0.7071s^6 + 3.5123s^5 + 5.9452s^4 + 6.7529s^3 + 5.0372s^2 + 2.3813s + 0.5628; D_{c2}(s)$  的特征根为  $-3, -0.1718 \pm 0.8809i, -0.4909 \pm 0.5221i, -0.6414; K(s) = -103.34s^2 - 103.17s - 103.68, T(s) = s^4 + 5.56s^3 + 12.54s^2 + 25.01s + 155.5; T(s)$  的特征根为  $-3.7527 \pm 2.1949i, 0.9720 \pm 2.6986i. L(s) = 4s^6 - 10s^5 - 72s^4 + 466s^3 - 1778s^2 + 5811s - 17951, K_0(s) = -0.059s - 0.1327, L_0(s) = -0.0203s^5 + 0.0592s^4 - 0.0048s^3 + 0.0292s^2 - 0.0005s. X(s, \tau) = \sum_{i=1}^6 \frac{k_i (e^{-\tau s} - e^{-\tau s_i})}{-s + s_i}, [k_1, k_2, k_3, k_4, k_5, k_6] = [0, -0.0003 + 0.0037i, -0.0003 - 0.0037i, 0.0077 + 0.0177i, 0.0077 - 0.0117i, 0.0139], [s_1, s_2, s_3, s_4, s_5, s_6] = [3, 0.0281 - 0.7336i, 0.0281 + 0.7336i, 0.1051 - 0.2602i, 0.1051 + 0.2602i, 0.2084].$

由图 1 得  $m(t)$  对阶跃参考值  $r(t) = 1$  的噪声  $d_v(t)$  和稳态响应值分别为

$$m_r(\infty) = \lim_{s \rightarrow 0} \frac{B D_n (K_0 e^{-\tau s} + A_w A_e X(s, \tau)) e^{\tau s}}{D_{c2} E} \frac{1}{s} = 1.0004, \quad m_d(\infty) = \lim_{s \rightarrow 0} \frac{B K D_n}{D_{c1} A} \epsilon(s) = 0.$$

由此可得以下结论: 本文在进行预测控制系统设计时, 直接考虑噪声对系统的影响, 使得系统的鲁棒性增强. 与其它预测控制算法相比, 计算量稍增大, 但可保证闭环系统内稳.

参 考 文 献

- 1 刘兵, 徐立鸿, 冯纯伯. 连续预测控制. 见: 中国控制与决策会议文集. 1994, 6
- 2 Zames G, Francis B A. A new approach to a classical frequency method: feedback and minimax sensitivity. In : CDC conference. San Diego, California, 1982
- 3 Grimble M J. LQG predictive optimal controller for continuous-time system. *IEE Proc. -D*, 1993, **140**: 181-189

- 4 Grimble M J. Two-degree-of-freedom linear quadratic gaussian predictive control. *IEE Proc. -D*, 1995, **142**: 295—306
- 5 Demircioglu H, Gawthrop P J. Continuous-time generalized predictive control (CGPC). *Automatica*, 1991, **27**: 55—74

## 附 录

### 二自由度闭环系统的优化解

由式(7), (8), (10), (12)整理式(13), 得

$$J = \frac{1}{2\pi j} \oint_D X(s) ds, \quad (A1)$$

$$X(s) = (Y_{c1} M_0 Y_f - Y_{c1}^*{}^{-1} \varphi_1 Y_f^*{}^{-1}) (Y_{c1} M_0 Y_f - Y_{c1}^*{}^{-1} \varphi_1 Y_f^*{}^{-1})^* + (Y_{c2} S_0 C_{02} Y_r - Y_{c2}^*{}^{-1} \varphi_2 Y_r^*{}^{-1}) (Y_{c2} S_0 C_{02} Y_r - Y_{c2}^*{}^{-1} \varphi_2 Y_r^*{}^{-1})^* + \varphi_0, \quad (A2)$$

$$Y_{c1} = \frac{D_{c1}}{A_w A D_n^2 p(s)}, Y_{c2} = \frac{D_{c2}}{A_w A D_n}, \quad (A3)$$

$$Y_f^* Y_f = H_f \Phi_{d_v d_v} H_f^* = \frac{D_n^* D_n}{A^* A}, Y_r Y_r^* = \Phi_{rr} = \frac{E E^*}{A_e A_e^*}, \quad (A4)$$

$$\varphi_1 = Q_1^* Q_1 [(G_h + F_d W)^* T_{yy} F_d + p^*(s) W^* T_y F_d + (G_h + F_d W)^* T_y^T p(s) + (N_2 - N_1) p(s) W^* p^*(s)] F_{d0} \Phi_{d_v d_v} F_{d0}^* + W_1^* W_1 \Phi_{d_v d_v} W^*, \quad (A5)$$

$$\varphi_2 = Q_1^* Q_1 [(G_h + F_d W)^* T_{yy} r_v + T_{y r_v} W^* p^*(s)] \Phi_{rr}. \quad (A6)$$

式中  $\varphi_0$  与控制器无关;  $D_{c1}, D_{c2}$  满足式(14), (15);  $T_{yy} = \int_{N_1}^{N_2} T_{N_y}^T T_{N_y} dT$ ;  $T_y = \int_{N_1}^{N_2} T_{N_y} dT$ ;  $T_{uu} = \int_0^N T_{N_u}^T T_{N_u} dT$ ; 取  $Y_f = D_n/A, Y_r = E e^{-\tau s}/A_e$ .

式(16)  $\times B + (17) \times A$ , 整理得隐式方程

$$AT + BK = D_{c1}. \quad (A7)$$

令  $C_{01} = C_{n1}/C_{d1}, C_{02} = C_{n2}/C_{d2}$ . 由  $M_0$  的定义及式(A3), (A4), (A7), (16), (18), (A5)和式(A6)可得

$$Y_{c1} M_0 Y_f - Y_{c1}^*{}^{-1} \varphi_1 Y_f^*{}^{-1} = \left[ \frac{TC_{n1} H_f - KC_{d1}}{A_w D_n p(s) (AC_{d1} + BH_f C_{n1})} \right] - \frac{L}{D_{c1}^*}, \quad (A8)$$

$$Y_{c2} S_0 C_{02} Y_r - Y_{c2}^*{}^{-1} \varphi_2 Y_r^*{}^{-1} = \left[ \frac{D_{c2} C_{n2} C_{d1} E e^{-\tau s} - C_{d2} D_n (AC_{d1} + BH_f C_{n1}) (K_0 e^{-\tau s} + A_w A_e X(\tau, s))}{A_w A_e D_n C_{d2} (AC_{d1} + BH_f C_{n1})} \right] - \frac{N_0}{D_{c2}^*}, \quad (A9)$$

其中  $X(s, \tau) = \frac{L_0}{D_{c2}^*} e^{-\tau s} - \frac{N_0}{D_{c2}^*} \stackrel{[3]}{=} \frac{N_0}{D_{c2}^*} = \sum_{i=1}^m \frac{k_i e^{-s_i \tau}}{(-s + s_i)}$ ,  $k_i$  满足  $\frac{L_0}{D_{c2}^*} = \sum_{i=1}^m \frac{k_i}{(-s + s_i)}$ ,  $-s_i (i = 1, 2, \dots, m)$  为  $D_{c2}$  稳定的特征根.

式(A8), (A9)中  $AC_{d1} + BH_f C_{n1}$ 是期望稳定的闭环特征多项式, 因此式(A8)方括号内项是稳定的, 记为  $T_{1s}$ , 余项记为  $T_{1u}$ . 式(A9)方括号内项记为  $T_{2s}$ , 余项记为  $T_{2u}$ . 直观看  $T_{2s}$ 不一定稳定, 但在  $T_{2s}$ 稳定条件下,  $C_{d2}$ 一定含有因子  $C_{d1}$ , 因此  $T_{2s}$ 中不稳定项相抵消, 后面可验证  $T_{2s}$ 稳定的假设是合理的. 式(A1)变为

$$J = \frac{1}{2\pi j} \oint_D \left[ \sum_{i=1}^2 (T_{is} T_{is}^* + T_{iu} T_{iu}^* + T_{is} T_{iu}^* + T_{iu} T_{is}^*) + \varphi_0 \right] ds, \quad (A10)$$

因  $T_{is} T_{iu}^*$ 在  $D$ 域内解析, 故有  $\oint_D T_{is} T_{iu}^* ds = 0, \oint_D T_{iu} T_{is}^* ds = - \oint_D T_{is} T_{iu}^* ds = 0$ , 而  $T_{iu} T_{iu}^*, \varphi_0$ 与控制器无关, 因此令  $T_{is} = 0 (i = 1, 2)$ , 则式(19)成立. 由式(19)和式(A7)容易推得式(20)成立.

**致谢:** 电力自动化研究院总工、中国工程院院士薛禹胜博士在本文修改过程中给予帮

助,特此感谢.

## DUAL CRITERION BASED TWO-DEGREE-OF-FREEDOM PREDICTIVE CONTROL——CONTINUOUS-TIME CASE

LIU BING

*(Institute of Systems, Electric Power Automation Research Institute, Nanjing 210003)*

FENG CHUNBO

*(Research Institute of Automation, Southeast University, Nanjing 210096)*

**Abstract** In this paper, the two-degree-of-freedom continuous-time predictive control is derived. A new cost function, including similar index function used in continuous-time predictive control, sensitivity function and complementary sensitivity function, is proposed. By factorizing general power spectrums and constructing appropriate Diophantine equations, the internal stability of closed-loop system is guaranteed. Finally an example shows the effectiveness of the method proposed here.

**Key words** Continuous-time predictive control, generalized spectral factorization, dual criterion.

**刘 兵** 1964年生,1985年毕业于河南大学,1996年获东南大学博士学位,现为电力部电力自动化研究院系统所高级工程师.目前研究兴趣电力系统的分析与控制等.

**冯纯伯** 1928年生,中国科学院院士,俄罗斯自然科学院外籍院士,东南大学教授、博士生导师.目前研究领域为系统建模、鲁棒控制、非线性控制等.